

# Влияние магнитного поля на ориентацию кристаллографических осей в поверхностных слоях олова

© Е.В. Чарная<sup>1,2</sup>, Cheng Tien<sup>2,3</sup>, Min Kai Lee<sup>2</sup>

<sup>1</sup> Санкт-Петербургский государственный университет, Санкт-Петербург, Петергоф, Россия

<sup>2</sup> Department of Physics, National Cheng Kung University, Tainan, Taiwan

<sup>3</sup> Center for Micro/Nano Science and Technology, National Cheng Kung University, Tainan, Taiwan

E-mail: charnaya@mail.ru

(Поступила в Редакцию 10 ноября 2009 г.)

Исследования, проведенные методом ЯМР  $^{119}\text{Sn}$ , показали, что слои олова, сформировавшиеся при кристаллизации расплава на поверхности объемных образцов поликристаллического  $\beta$ -Sn в постоянном магнитном поле 9.4 Т, ориентированы по отношению к направлению магнитного поля. При сравнении интенсивностей сигналов от расплавленных и закристаллизованных слоев выявлено, что объем ориентированных областей может приближаться к объему всего расплавленного поверхностного слоя.

Работа проводилась при финансовой поддержке Государственного университета им. Чен Куна (Тайвань).

## 1. Введение

В последнее время в связи с развитием нанотехнологии большой интерес вызывают методы, позволяющие направленно изменять свойства поверхностей различных материалов, в том числе металлических поверхностей. Структура поверхности металлов сказывается на характеристиках молекулярных и органических электронных устройств [1,2], влияет на применение металлов в качестве подложек для микроэлектромеханических элементов и тонких оксидных пленок [3], а также на параметры металлических покрытий и экранов. В настоящей работе показана возможность формирования на поверхности поликристаллических образцов  $\beta$ -модификации олова слоев, имеющих одинаковую ориентацию кристаллографических осей, за счет кристаллизации в постоянном сильном магнитном поле.

## 2. Образцы и эксперимент

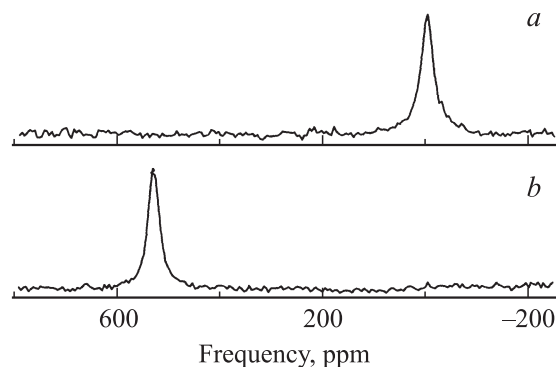
При комнатной температуре и выше стабильной является  $\beta$ -модификация олова, плавящаяся при примерно 505 К. Образцы для исследований были приготовлены из поликристаллического олова чистоты 3N (99.9%). Образец № 1 представлял собой пластину толщиной 1.5 мм, с площадью поверхности 1 см<sup>2</sup>, обернутую тефлоновой пленкой для изоляции. Образцы № 2 и 3 состояли каждый из трех шариков диаметром около 3 мм, помещенных в запаянную вакуумированную и неоткачанную ампулу из кварцевого стекла соответственно. Образцы № 1–3 нагревались при измерениях не выше 504 К. Образец № 4 в виде запаянного в кварцевой ампуле металлического шарика нагревался выше температуры плавления олова.

Экспериментальные исследования проводились на спектрометре ЯМР Bruker Avance 400, оснащенный

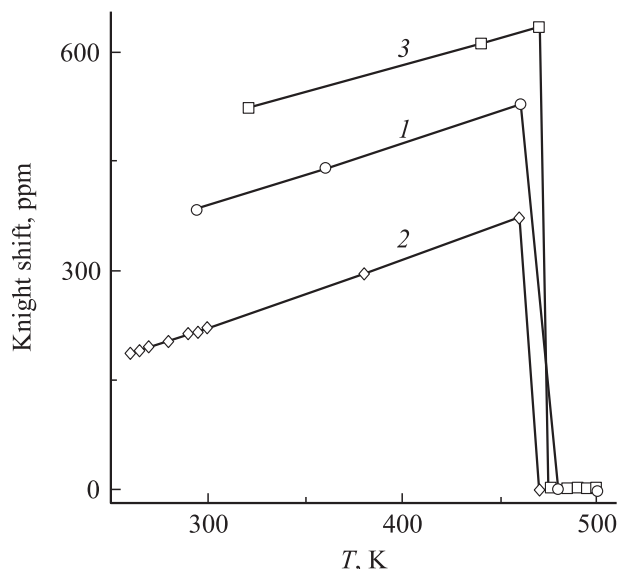
сверхпроводящим магнитом, создающим поле 9.4 Т. Для наблюдения спектра изотопа  $^{119}\text{Sn}$  регистрировался сигнал свободной прецессии после зондирующего 90° импульса с последующим преобразованием Фурье. Поскольку изотоп  $^{119}\text{Sn}$  имеет низкую природную распространенность, для получения достаточно хорошего отношения сигнал-шум число накоплений было не менее 6144. Положение резонансных линий определялось относительно линии ЯМР от расплава олова при 505 К. Точность стабилизации температуры была не хуже 0.5 К.

## 3. Экспериментальные результаты

Сигнал ЯМР  $^{119}\text{Sn}$  не наблюдался при комнатной температуре во всех исследованных образцах, не подвергнутых предварительному прогреву в катушке спектрометра. При нагреве сигналы ЯМР появлялись около 500 К, когда расплавлялся слой олова на поверхности образцов. Спектр при 500 К для всех образцов состоял из одной



**Рис. 1.** Нормированные линии ЯМР  $^{119}\text{Sn}$  от поверхностного расплавленного слоя олова при температуре 500 К (а) и кристаллического слоя при 470 К (б).



**Рис. 2.** Сдвиг Найта линии ЯМР  $^{119}\text{Sn}$  в зависимости от температуры в образцах № 1–3 при охлаждении от 500 К. Номера кривых соответствуют номерам образцов.

линии шириной  $\sim 30$  ppm (4500 Hz) (рис. 1, *a*). Интенсивность сигнала сильно возрастала, когда образец № 4 нагревался выше 505 К. Наблюдаемая резонансная линия очевидно обусловлена жидким оловом [4–8]. Ее положение определяется изотропным сдвигом Найта для расплава  $K_L$  [4]. В диапазоне температур до 510 К эта линия практически не смещалась по частоте в соответствии с известной слабой зависимостью сдвига Найта в расплаве олова [5]. При охлаждении образцов № 1–3 сигнал от расплавленного слоя олова полностью исчезал ниже 470 К вследствие кристаллизации. Однако в спектре  $^{119}\text{Sn}$  появлялась другая линия, сдвинутая к высокой частоте по отношению к линии ЯМР от расплава (рис. 1, *b*). Положение этой линии изменялось от эксперимента к эксперименту, но ее сдвиг относительно резонансной линии от расплава лежал в пределах от 300 до 640 ppm. Ширина линии, появившейся после кристаллизации, практически совпадала с шириной линии от расплава. При дальнейшем понижении температуры до комнатной линия линейно сдвигалась к низким частотам, как показано на рис. 2. Интенсивность линии также изменялась для различных образцов и экспериментов, но не превышала интенсивности линии от расплавленного слоя олова при 500 К. Для результатов, представленных на рис. 2, интенсивность резонансных линий  $^{119}\text{Sn}$  составляла от 90 до 60% от интенсивности линии, соответствующей расплавленному слою олова.

#### 4. Обсуждение результатов

Для кристаллического олова  $\beta$ -модификации, имеющего тетрагональную симметрию, частота ЯМР  $^{119}\text{Sn}$  (спин  $I = 1/2$ ) определяется двумя параметрами: изотропным  $K_{\text{iso}}$  и анизотропным  $K_{\text{ax}}$  сдвигами Найта [4,6,8].

Эти сдвиги выражаются как  $K_{\text{iso}} = (K_{\parallel} + 2K_{\perp})/3$  и  $K_{\text{ax}} = (K_{\parallel} - K_{\perp})/3$ , где  $K_{\parallel}$  и  $K_{\perp}$  обозначают сдвиг Найта при ориентации внешнего магнитного поля параллельно и перпендикулярно кристаллографической оси  $z$  соответственно [6]. Для монокристаллического образца при произвольной ориентации в магнитном поле, соответствующей углу  $\theta$  между направлением поля и осью  $z$ , величина сдвига Найта  $K_s$  дается выражением [9]

$$K_s = K_{\text{iso}} + K_{\text{ax}}(3 \cos^2 \theta - 1). \quad (1)$$

Ранее было получено, что около точки плавления олова величины  $K_{\text{iso}}$  и  $K_L$  связаны друг с другом соотношением  $K_{\text{iso}} \cong K_L + 210$  ppm [10,11]. Анизотропный сдвиг Найта около точки плавления приблизительно равен  $K_{\text{ax}} \cong 230$  ppm [8]. Из выражения (1) следует, что для поликристаллического  $\beta$ -олова ширина линии ЯМР  $^{119}\text{Sn}$  должна иметь порядок  $3K_{\text{ax}} \sim 690$  ppm. Таким образом, отсутствие наблюдаемых сигналов ЯМР  $^{119}\text{Sn}$  при температурах ниже плавления олова в начале измерений связано с сильным уширением резонансной линии за счет анизотропии сдвига Найта в соответствии с известными данными [8].

Узкие резонансные линии, появляющиеся в спектре ЯМР в результате кристаллизации поверхностного слоя олова ниже 470 К, могут быть связаны только с формированием ориентированных кристаллических областей на поверхности поликристаллических образцов. Действительно, выражение (1) показывает, что для ориентированных кристаллов сдвиг Найта  $K_s$  может принимать значения от  $K_L + 670$  ppm до  $K_L - 20$  ppm в полном соответствии с данными, представленными на рис. 2. Отметим, что наблюдаемые нами сдвиги ЯМР для всех образцов относятся к ориентации оси  $z$  по отношению к магнитному полю под углом, меньшим  $40^\circ$ . При этом для образца № 3 ось  $z$  была почти параллельна внешнему полю. Тот факт, что ширина резонансных линий от поверхностного слоя, закристаллизовавшегося в магнитном поле, близка к ширине линии от расплава, подтверждает высокую степень ориентированности поверхностного слоя. Поскольку интенсивности линий от кристаллического и расплавленного слоя олова на поверхности образцов были близки, большая часть объема слоя приобретает одинаковую ориентацию при замерзании в магнитном поле.

Температурная зависимость положения линий ЯМР от кристаллического слоя олова также указывает на то, что наблюдаемые линии соответствуют ориентированным областям. Известно, что изотропный сдвиг  $K_{\text{iso}}$  уменьшается, тогда как анизотропный сдвиг  $K_{\text{ax}}$  растет с уменьшением температуры [8]. Поэтому из соотношения (1) следует более слабая температурная зависимость сдвига линии для больших  $K_s$ , что полностью согласуется с рис. 2. Рассчитанный на основе данных для  $K_{\parallel}$  и  $K_{\perp}$ , приведенных в [8], коэффициент  $\frac{1}{K_s} \frac{dK_s}{dT}$  находится в интервале между  $1.4 \cdot 10^{-4}$  и  $2.2 \cdot 10^{-4} \text{ K}^{-1}$ , что также согласуется с рис. 2.

Возможно, наблюдаемый эффект ориентирования кристаллических слоев олова на поверхности поликристаллических образцов в магнитном поле обусловлен тем, что магнитное поле вызывает ориентацию образующихся в расплаве центров кристаллизации. Ориентированные центры кристаллизации приводят затем к ориентации макроскопических областей на поверхности. Преимущественная ориентация наночастиц некоторых немагнитных сплавов и металлического цинка в магнитном поле наблюдалась в работах [12–14].

Таким образом, в настоящей работе методом ЯМР обнаружена ориентация поверхностных слоев олова при кристаллизации в магнитном поле. Сравнение интенсивностей линий ЯМР от расплавленного и закристаллизованного слоев показывает, что почти весь объем слоя может быть ориентированным.

## Список литературы

- [1] H.B. Akkerman, P.W.M. Blom, D.M. de Leeuw, B. de Boer. *Nature* **441**, 69 (2006).
- [2] *Conjugated polymer and molecular interfaces, science and technology for photonic and optoelectronic applications* / Eds W.R. Salaneck, K. Seki, A. Kahn, J.-J. Pireaux. Dekker, N.Y. (2002). 888 p.
- [3] J. Goniakowski, C. Noguera. *Phys. Rev. B* **79**, 155 433 (2009).
- [4] Ж. Винтер. *Магнитный резонанс в металлах*. Мир, М. (1976). 288 с.
- [5] J.M. Titman. *Phys. Rep.* **33**, 1 (1977).
- [6] G.A. Matzkanin, T.A. Scott. *Phys. Rev.* **151**, 360 (1966).
- [7] E.V. Charnaya, Cheng Tien, M.K. Lee, Yu.A. Kumzerov. *Phys. Rev. B* **75**, 144 101 (2007).
- [8] F. Borsa, R.G. Barnes. *J. Phys. Chem. Sol.* **27**, 567 (1966).
- [9] J.F. Baugher, P.C. Taylor, T. Oja, P.J. Bray. *J. Chem. Phys.* **50**, 4914 (1969).
- [10] E.M. Dickson. *Phys. Rev.* **184**, 294 (1969).
- [11] W.D. Knight, A.G. Berger, V. Heine. *Ann. Phys. (N.Y.)* **8**, 173 (1959).
- [12] S. Asai. *Model. Simul. Mater. Sci. Eng.* **12**, R 1 (2004).
- [13] B.A. Legrand, D. Chateigner, R. Perrier de la Bathie, R. Tournier. *J. Magn. Magn. Mater.* **173**, 20 (1997).
- [14] T. Sugiyama, M. Tahashi, K. Sassa, S. Asai. *ISIJ Intern.* **43**, 855 (2003).